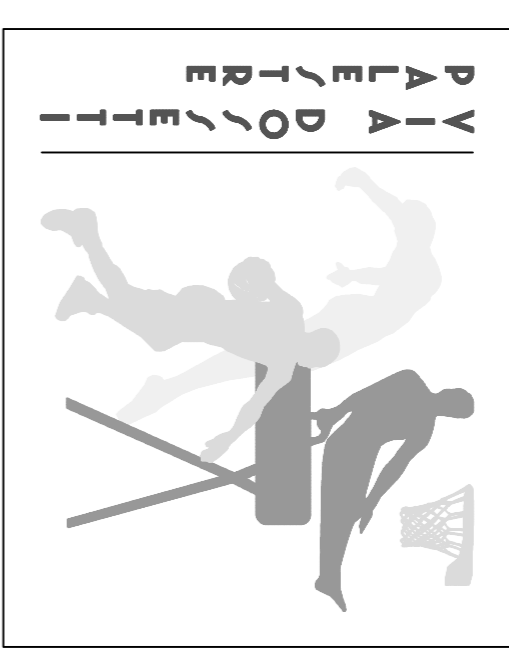


Progetto: Complesso sportivo multidisciplinare presso il polo scolastico di San Paolo a Prato
 Titolo: LAVORAZIONI AGGIUNTIVE ART. 106 D.LGS. 50/2016
 Pianta: ESECUTIVO

Spett.le: Edilizio Prato
 Via Aldo Moro, 156
 51100 Prato, Firenze

Progettisti
 Ani Edilizio Prato
 Ani Progetti Prato
 Ani Studio Prato



Emblema: TAVOLA 106.04 - TAVOLA STRUTTURALE ASCENSORE
 Scala: 1:50 - 1:20
 Stato: Interventi aggiunti

Data: settembre 2019

CARATTERISTICHE DEI MATERIALI DA UTILIZZARE

C28/30 CALCESTRUZZO PER GETTI

Classe di resistenza a compressione: C28
 Resistenza caratteristica a compressione (f_{cd}): 38.70 N/mm²
 Modulo di elasticità (E_c): 32.50 kN/mm²
 Coefficiente di dilatazione termica (α_c): 10.00 x 10⁻⁶/K
 Rapporto di densità (ρ_{c,15}): 2400 kg/m³
 Rapporto tra il peso e la resistenza (k): 62.36 kg/cm²/N/mm²
 Resistenza caratteristica a trazione (f_{ct,td}): 2.50 N/mm²
 Resistenza caratteristica a flessione (f_{ct,fl}): 3.00 N/mm²
 Resistenza caratteristica a scorrimento (f_{ct,s}): 0.60 N/mm²
 Resistenza caratteristica a strisciamento (f_{ct,sc}): 0.60 N/mm²
 Resistenza caratteristica a distacco (f_{ct,d}): 0.40 N/mm²
 Resistenza caratteristica a rottura (f_{ct,r}): 0.40 N/mm²
 Resistenza caratteristica a strisciamento (f_{ct,sc}): 0.60 N/mm²
 Resistenza caratteristica a distacco (f_{ct,d}): 0.40 N/mm²
 Resistenza caratteristica a rottura (f_{ct,r}): 0.40 N/mm²

C17/20 CALCESTRUZZO PER MASSICCE

Classe di resistenza a compressione: C17
 Resistenza caratteristica a compressione (f_{cd}): 22.50 N/mm²
 Modulo di elasticità (E_c): 32.50 kN/mm²
 Coefficiente di dilatazione termica (α_c): 10.00 x 10⁻⁶/K
 Rapporto di densità (ρ_{c,15}): 2400 kg/m³
 Rapporto tra il peso e la resistenza (k): 59.09 kg/cm²/N/mm²
 Resistenza caratteristica a trazione (f_{ct,td}): 2.00 N/mm²
 Resistenza caratteristica a flessione (f_{ct,fl}): 2.50 N/mm²
 Resistenza caratteristica a scorrimento (f_{ct,s}): 0.50 N/mm²
 Resistenza caratteristica a strisciamento (f_{ct,sc}): 0.50 N/mm²
 Resistenza caratteristica a distacco (f_{ct,d}): 0.35 N/mm²
 Resistenza caratteristica a rottura (f_{ct,r}): 0.35 N/mm²

B50/C ACCIAIO PER ARMATURE GETTI E ARMATURA LEGATA

Resistenza caratteristica a trazione (f_{yk}): 500 N/mm²
 Resistenza caratteristica a compressione (f_{yk}): 500 N/mm²
 Modulo di elasticità (E_s): 200.000 N/mm²
 Coefficiente di dilatazione termica (α_s): 12.00 x 10⁻⁶/K
 Rapporto di densità (ρ_s): 7850 kg/m³
 Resistenza caratteristica a trazione (f_{yk}): 500 N/mm²
 Resistenza caratteristica a compressione (f_{yk}): 500 N/mm²
 Modulo di elasticità (E_s): 200.000 N/mm²
 Coefficiente di dilatazione termica (α_s): 12.00 x 10⁻⁶/K
 Rapporto di densità (ρ_s): 7850 kg/m³

B50/A ACCIAIO PER RETI ELETTRICISCLANTE

Resistenza caratteristica a trazione (f_{yk}): 500 N/mm²
 Resistenza caratteristica a compressione (f_{yk}): 500 N/mm²
 Modulo di elasticità (E_s): 200.000 N/mm²
 Coefficiente di dilatazione termica (α_s): 12.00 x 10⁻⁶/K
 Rapporto di densità (ρ_s): 7850 kg/m³
 Resistenza caratteristica a trazione (f_{yk}): 500 N/mm²
 Resistenza caratteristica a compressione (f_{yk}): 500 N/mm²
 Modulo di elasticità (E_s): 200.000 N/mm²
 Coefficiente di dilatazione termica (α_s): 12.00 x 10⁻⁶/K
 Rapporto di densità (ρ_s): 7850 kg/m³

S235 ACCIAIO PER PROFILI ALAMINI E TUBOLARI

Resistenza caratteristica a trazione (f_{yk}): 235 N/mm²
 Resistenza caratteristica a compressione (f_{yk}): 235 N/mm²
 Modulo di elasticità (E_s): 200.000 N/mm²
 Coefficiente di dilatazione termica (α_s): 12.00 x 10⁻⁶/K
 Rapporto di densità (ρ_s): 7850 kg/m³
 Resistenza caratteristica a trazione (f_{yk}): 235 N/mm²
 Resistenza caratteristica a compressione (f_{yk}): 235 N/mm²
 Modulo di elasticità (E_s): 200.000 N/mm²
 Coefficiente di dilatazione termica (α_s): 12.00 x 10⁻⁶/K
 Rapporto di densità (ρ_s): 7850 kg/m³

S275 ACCIAIO PER PROFILI ALAMINI E TUBOLARI

Resistenza caratteristica a trazione (f_{yk}): 275 N/mm²
 Resistenza caratteristica a compressione (f_{yk}): 275 N/mm²
 Modulo di elasticità (E_s): 200.000 N/mm²
 Coefficiente di dilatazione termica (α_s): 12.00 x 10⁻⁶/K
 Rapporto di densità (ρ_s): 7850 kg/m³
 Resistenza caratteristica a trazione (f_{yk}): 275 N/mm²
 Resistenza caratteristica a compressione (f_{yk}): 275 N/mm²
 Modulo di elasticità (E_s): 200.000 N/mm²
 Coefficiente di dilatazione termica (α_s): 12.00 x 10⁻⁶/K
 Rapporto di densità (ρ_s): 7850 kg/m³

C45/55 ACCIAIO ARMANDO PER ARMATURE IN C.A.V. /RINFORZO

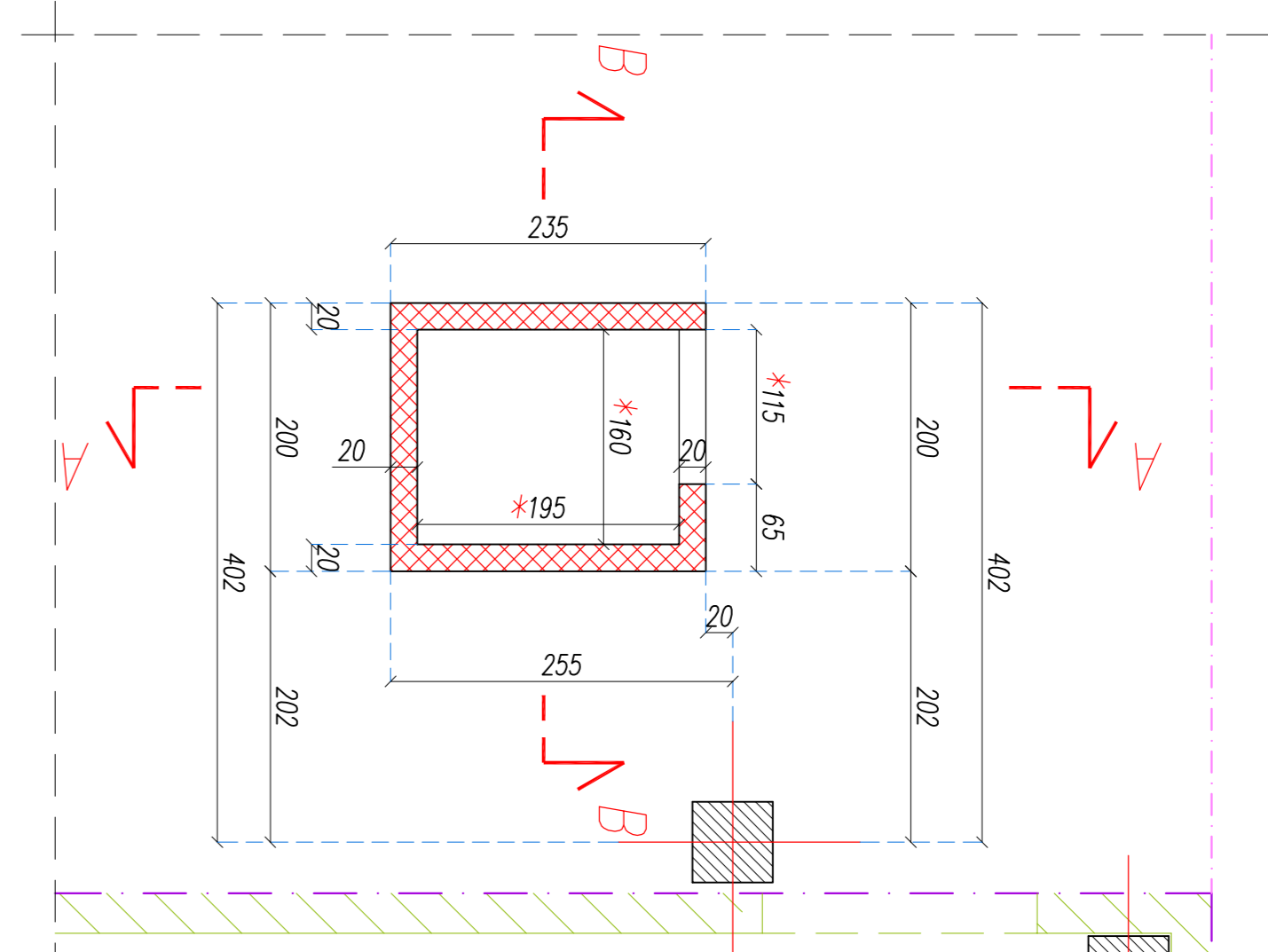
Resistenza caratteristica a trazione (f_{yk}): 450 N/mm²
 Resistenza caratteristica a compressione (f_{yk}): 450 N/mm²
 Modulo di elasticità (E_s): 200.000 N/mm²
 Coefficiente di dilatazione termica (α_s): 12.00 x 10⁻⁶/K
 Rapporto di densità (ρ_s): 7850 kg/m³
 Resistenza caratteristica a trazione (f_{yk}): 450 N/mm²
 Resistenza caratteristica a compressione (f_{yk}): 450 N/mm²
 Modulo di elasticità (E_s): 200.000 N/mm²
 Coefficiente di dilatazione termica (α_s): 12.00 x 10⁻⁶/K
 Rapporto di densità (ρ_s): 7850 kg/m³

P300 CEMENTO PER MALTE E MORTAIE

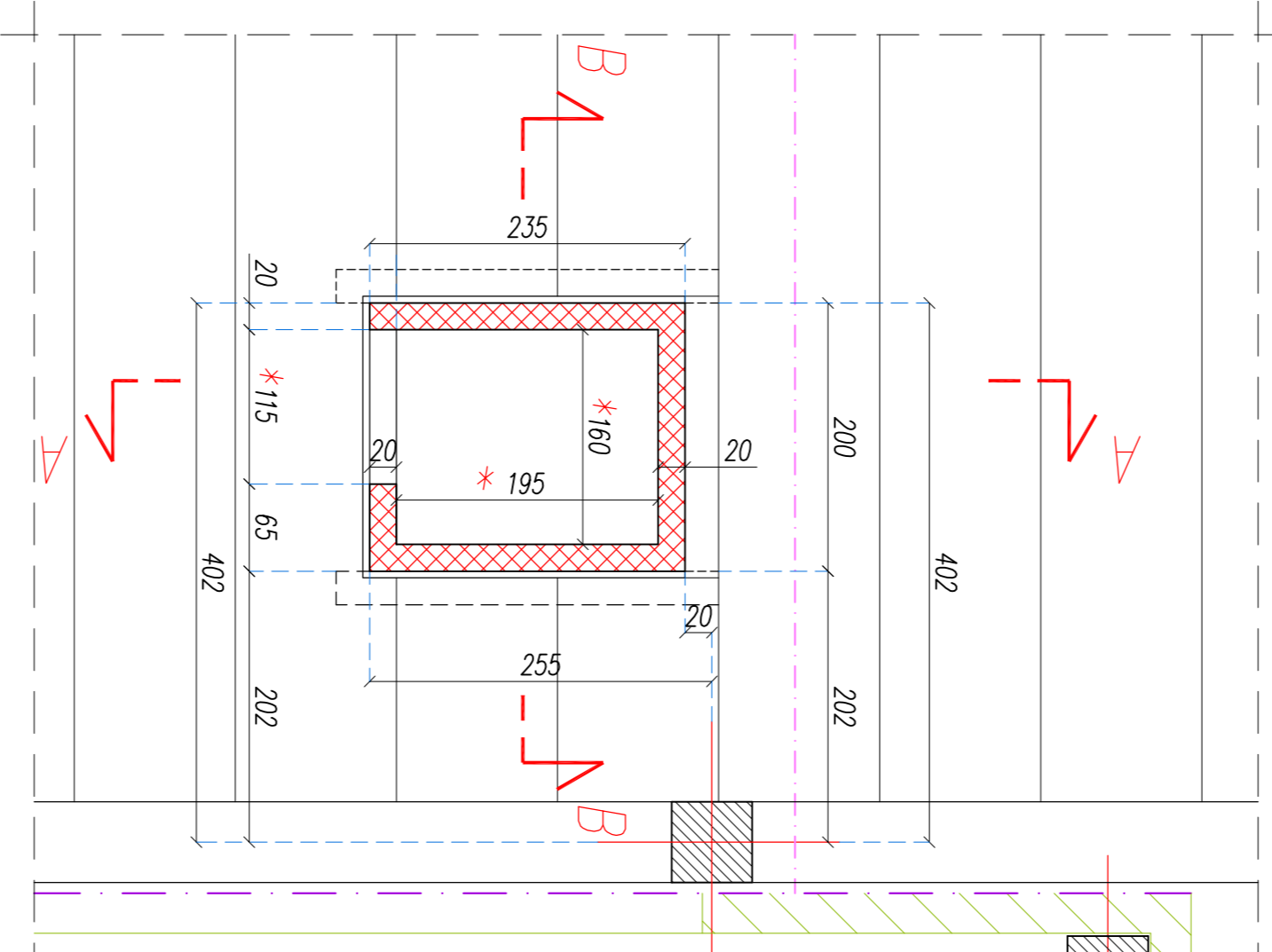
Resistenza caratteristica a compressione (f_{yk}): 30.00 N/mm²
 Resistenza caratteristica a trazione (f_{yk}): 1.50 N/mm²
 Resistenza caratteristica a flessione (f_{yk}): 2.00 N/mm²
 Resistenza caratteristica a scorrimento (f_{yk}): 0.40 N/mm²
 Resistenza caratteristica a strisciamento (f_{yk}): 0.40 N/mm²
 Resistenza caratteristica a distacco (f_{yk}): 0.30 N/mm²
 Resistenza caratteristica a rottura (f_{yk}): 0.30 N/mm²

PRESCRIZIONI GENERALI
 Tutti i materiali dovranno essere conformi alle norme di riferimento.

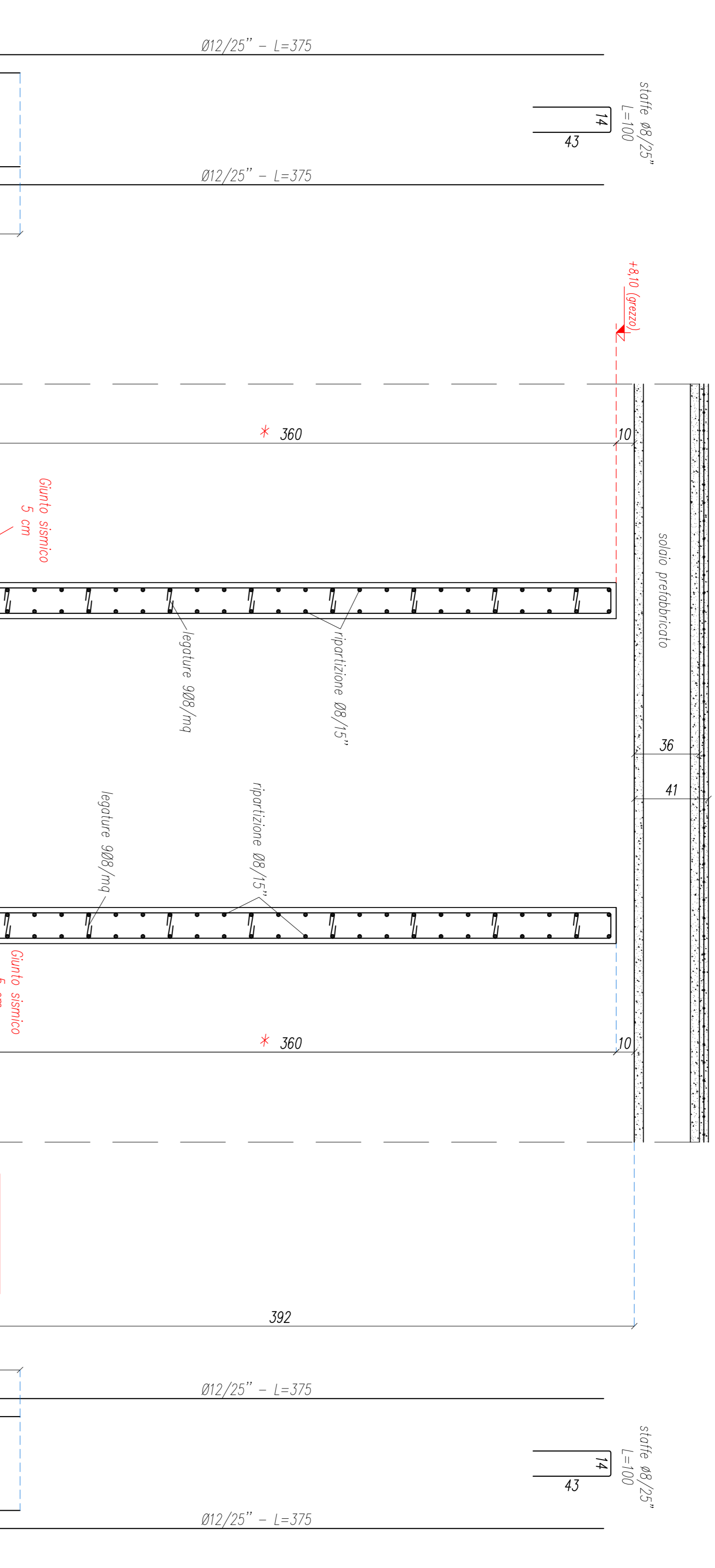
SEZIONE B-B - SCALA 1:20



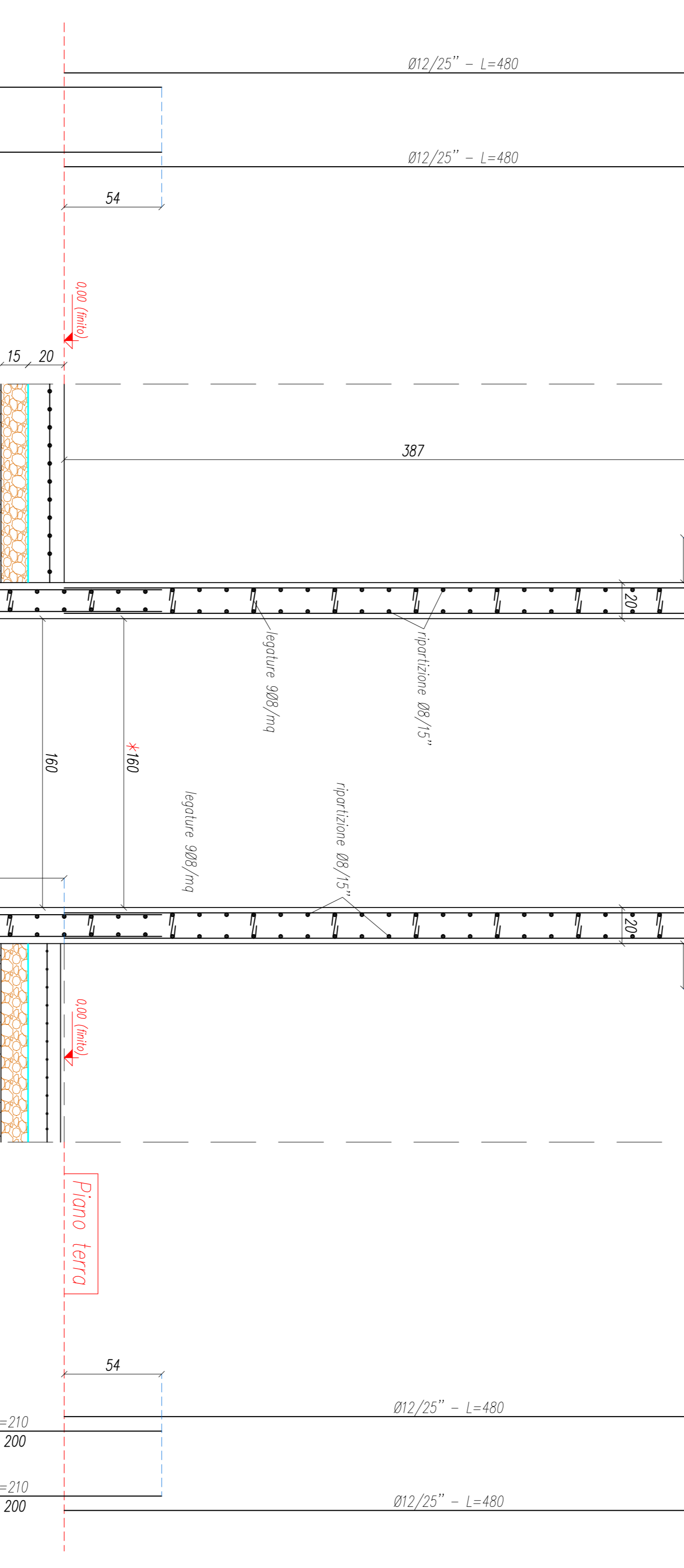
IANO ASCENSORE PIANO PRIMO - SCALA 1:50



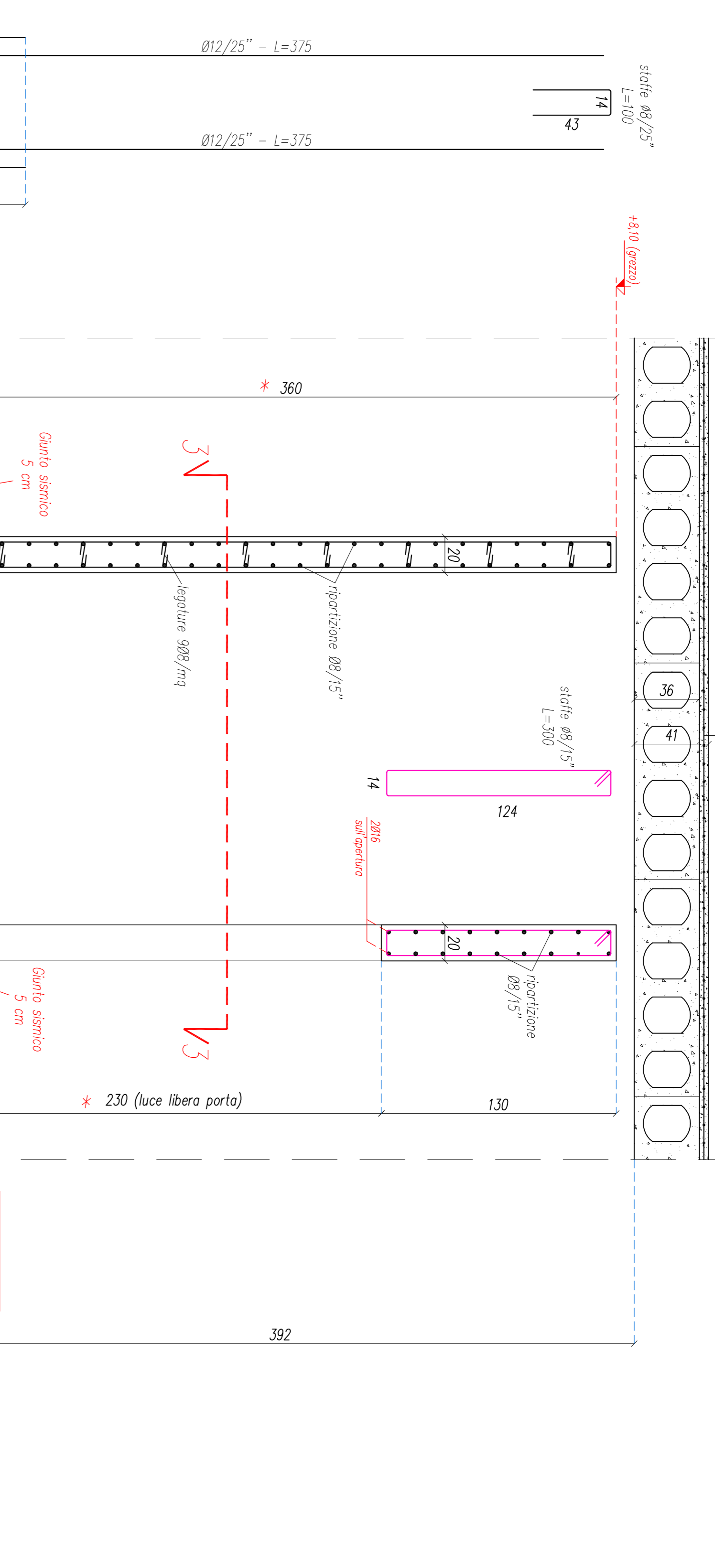
SEZIONE B-B - SCALA 1:20



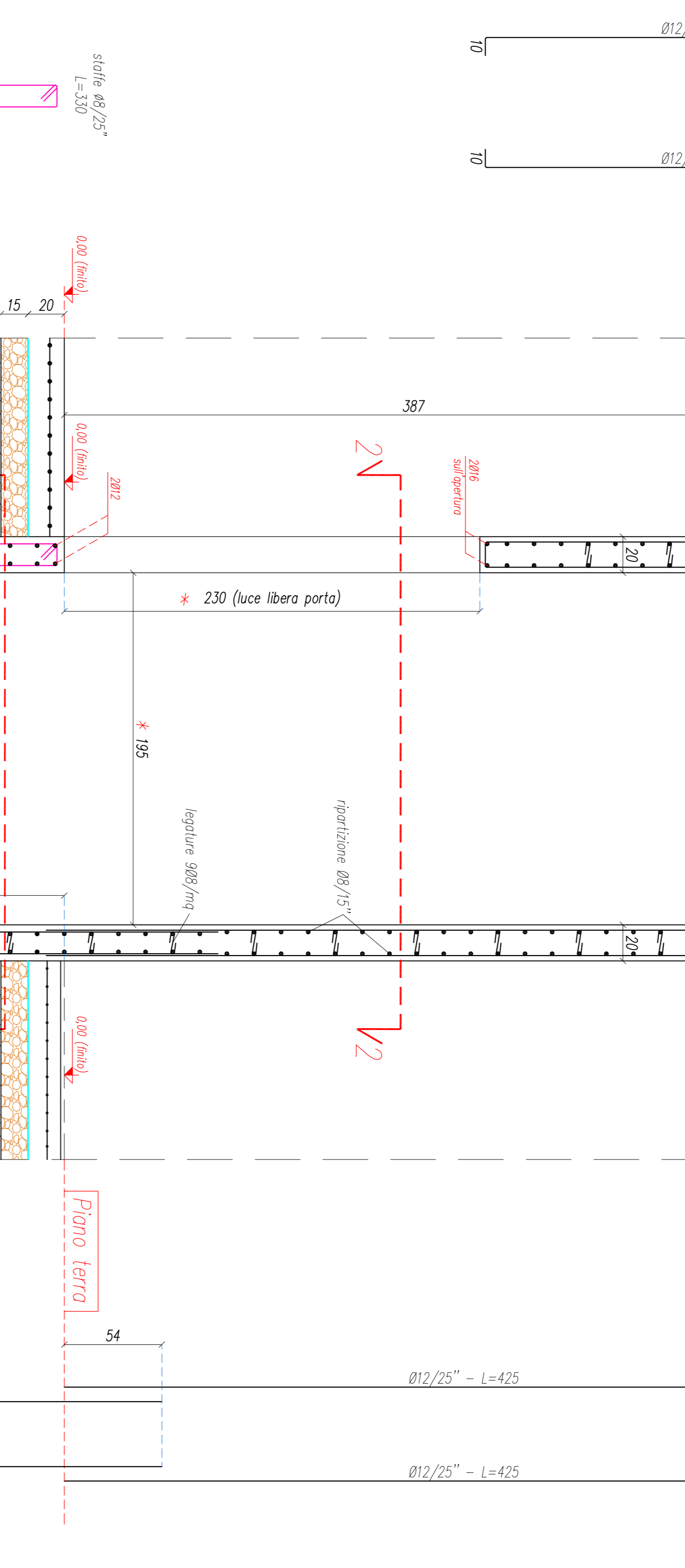
IANO ASCENSORE PIANO PRIMO - SCALA 1:50



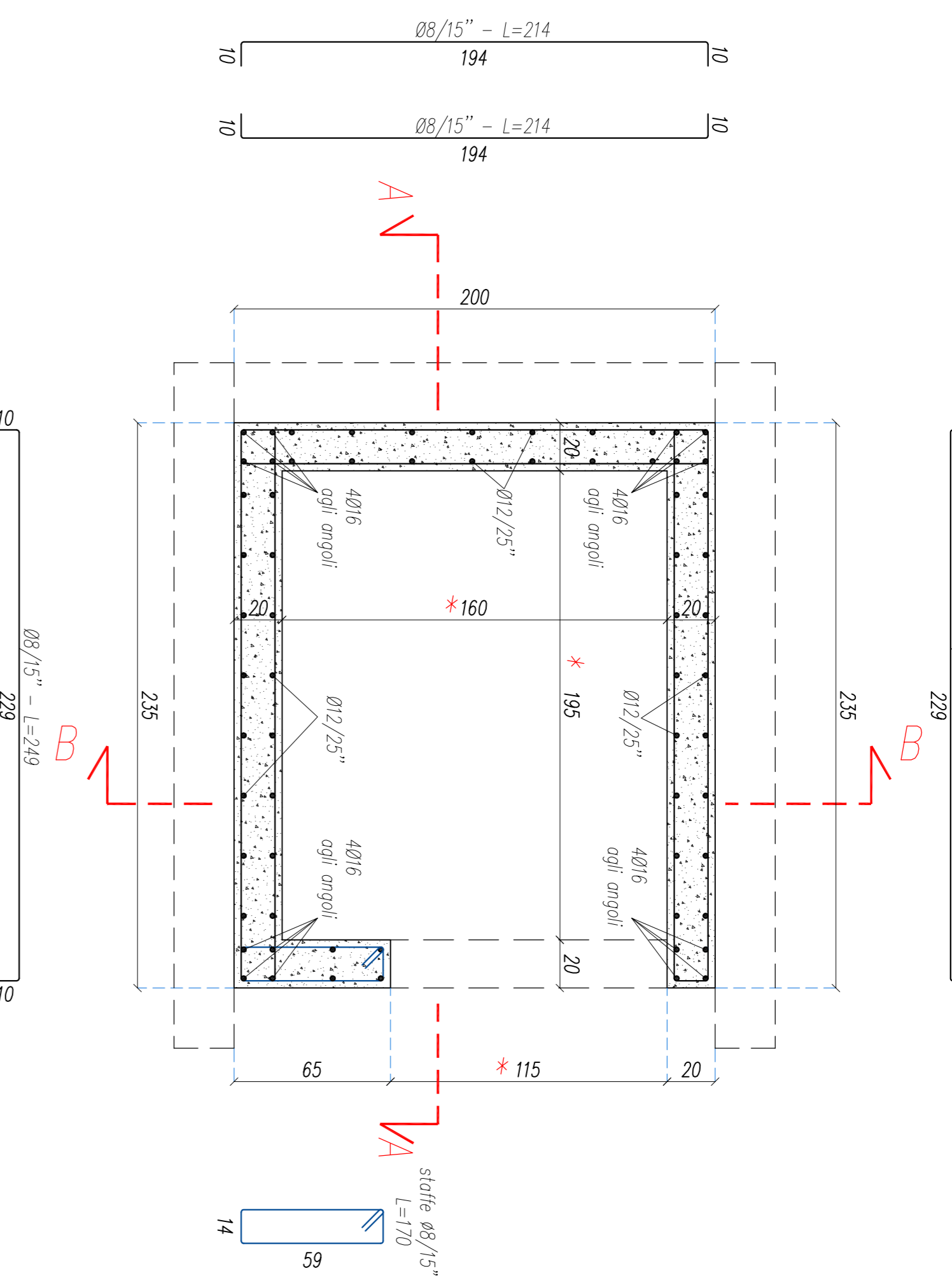
SEZIONE A-A - SCALA 1:20



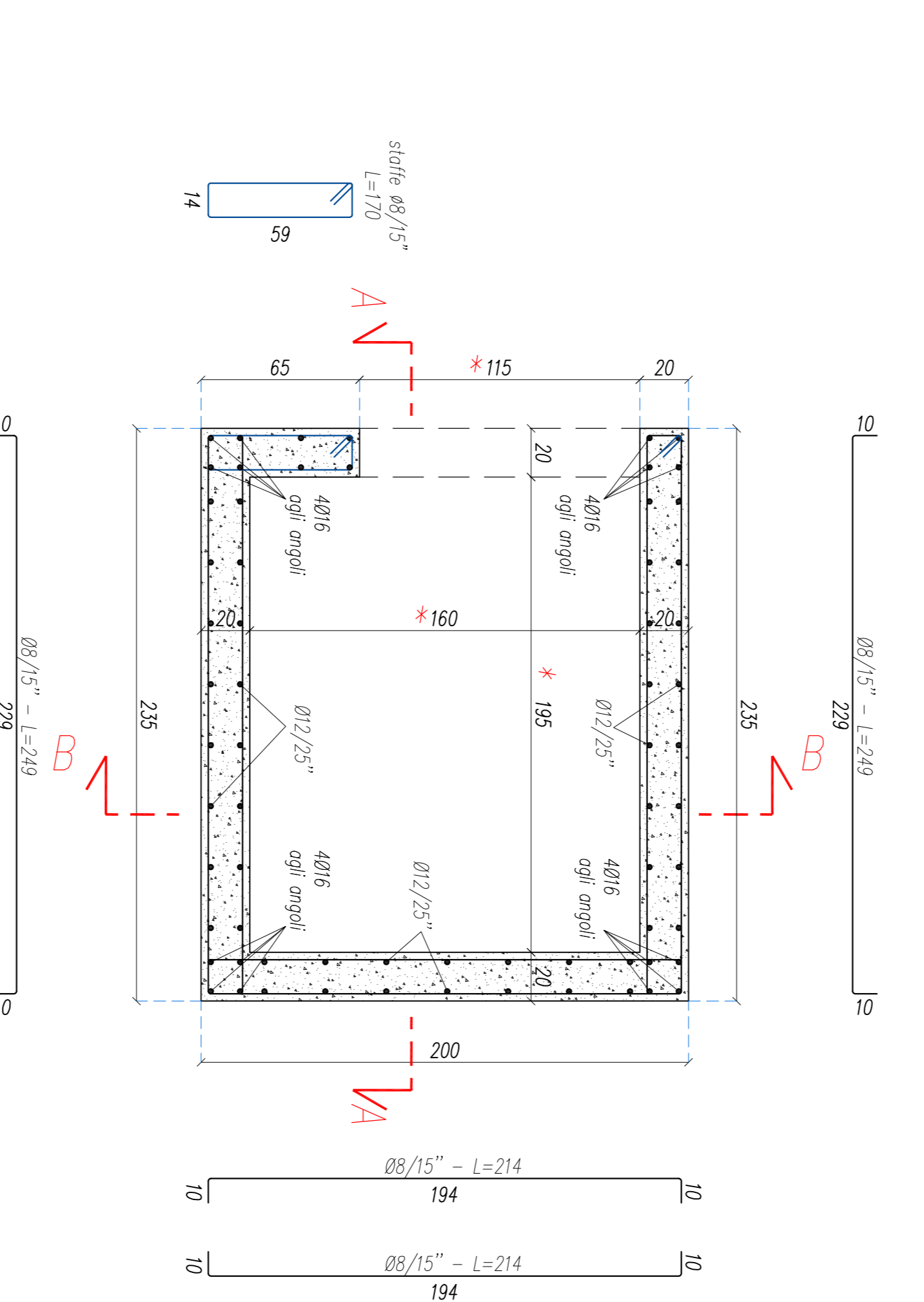
IANO ASCENSORE PIANO PRIMO - SCALA 1:50



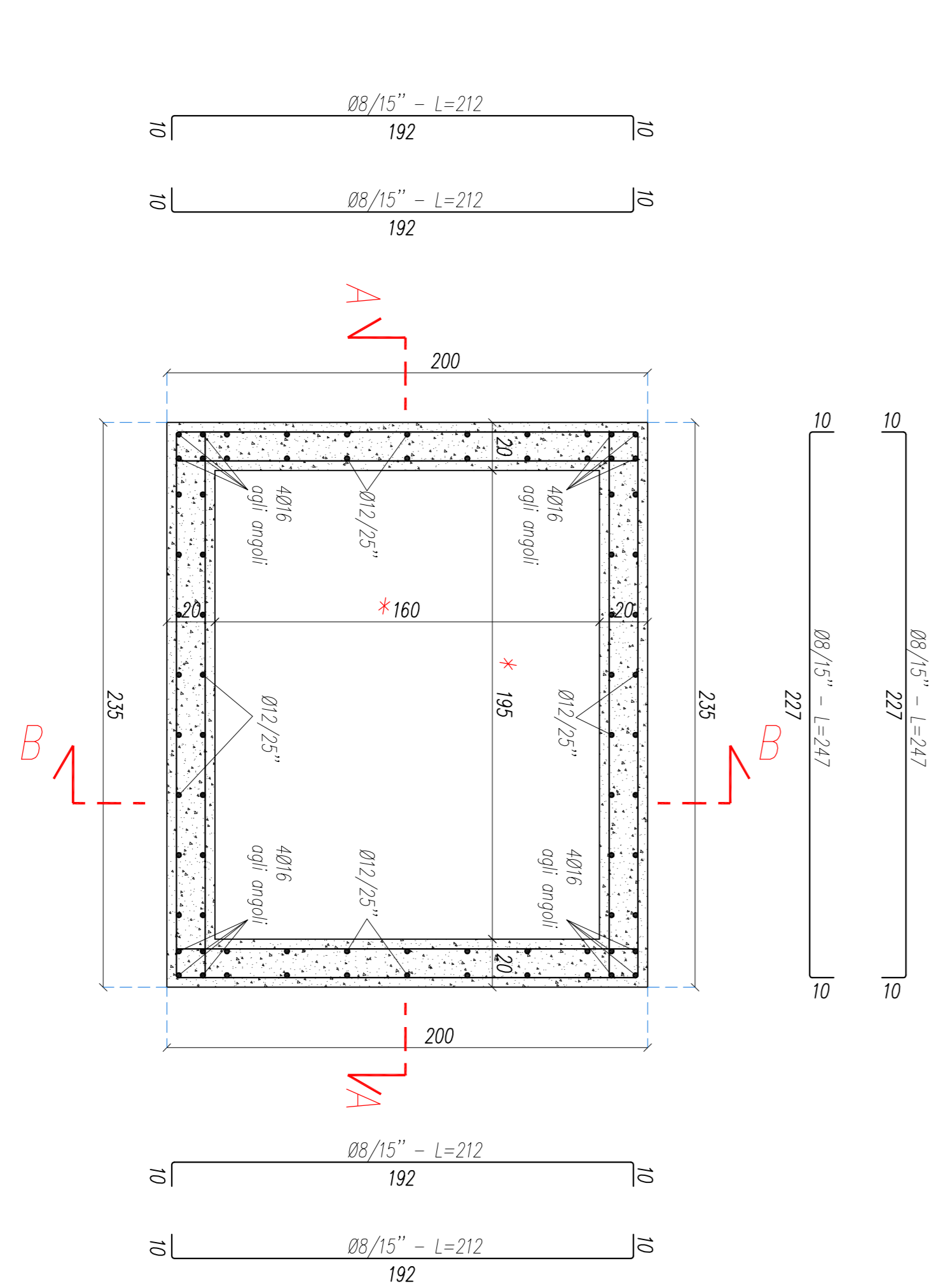
SEZIONE 3-3 - SCALA 1:20



SEZIONE 2-2 - SCALA 1:20



SEZIONE 1-1 - SCALA 1:20



Firmato da:

Bardazzi Lorenzo

codice fiscale IT:BRDLNZ77A26G999X

num.serie: 5331938491117098249157667793441897563

emesso da: ArubaPEC S.p.A. NG CA 3

valido dal 06/12/2016 al 07/12/2019